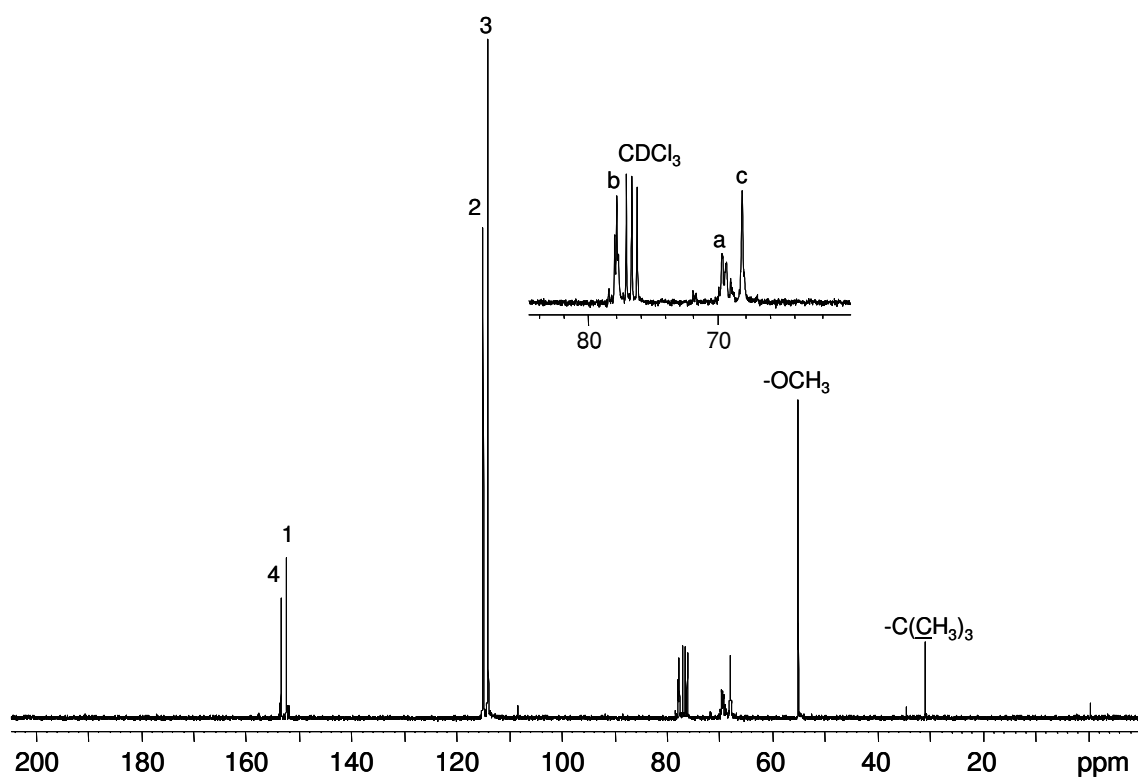
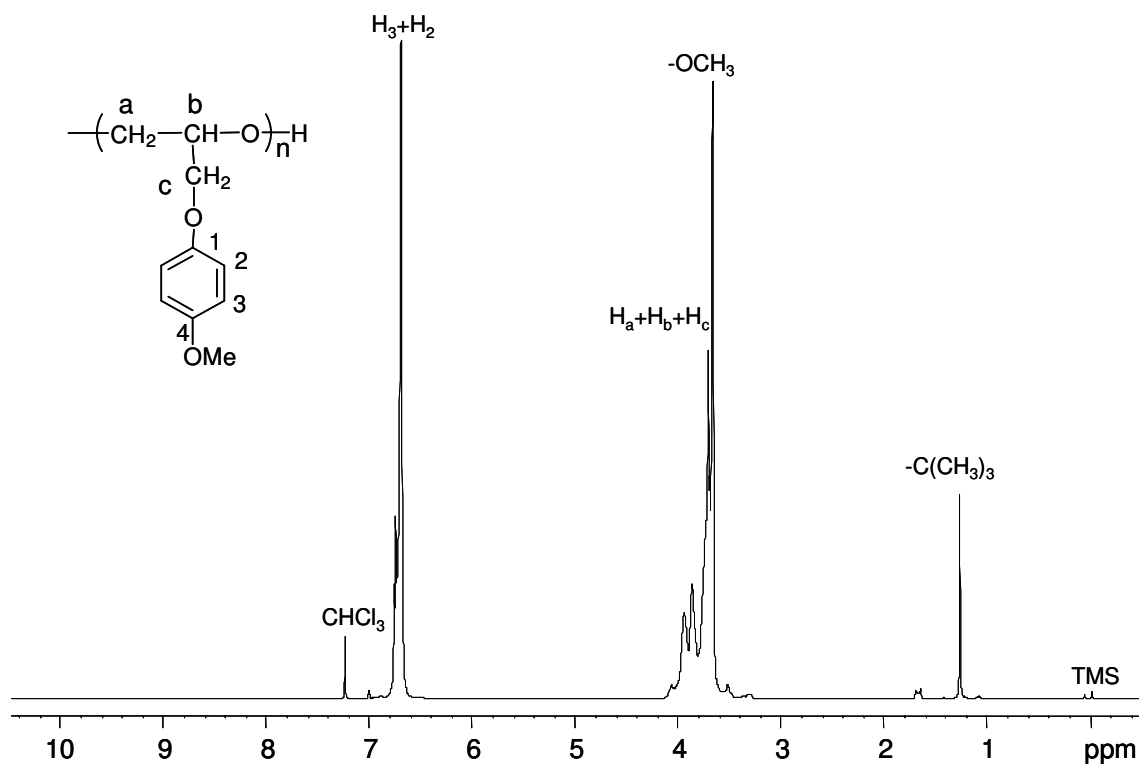
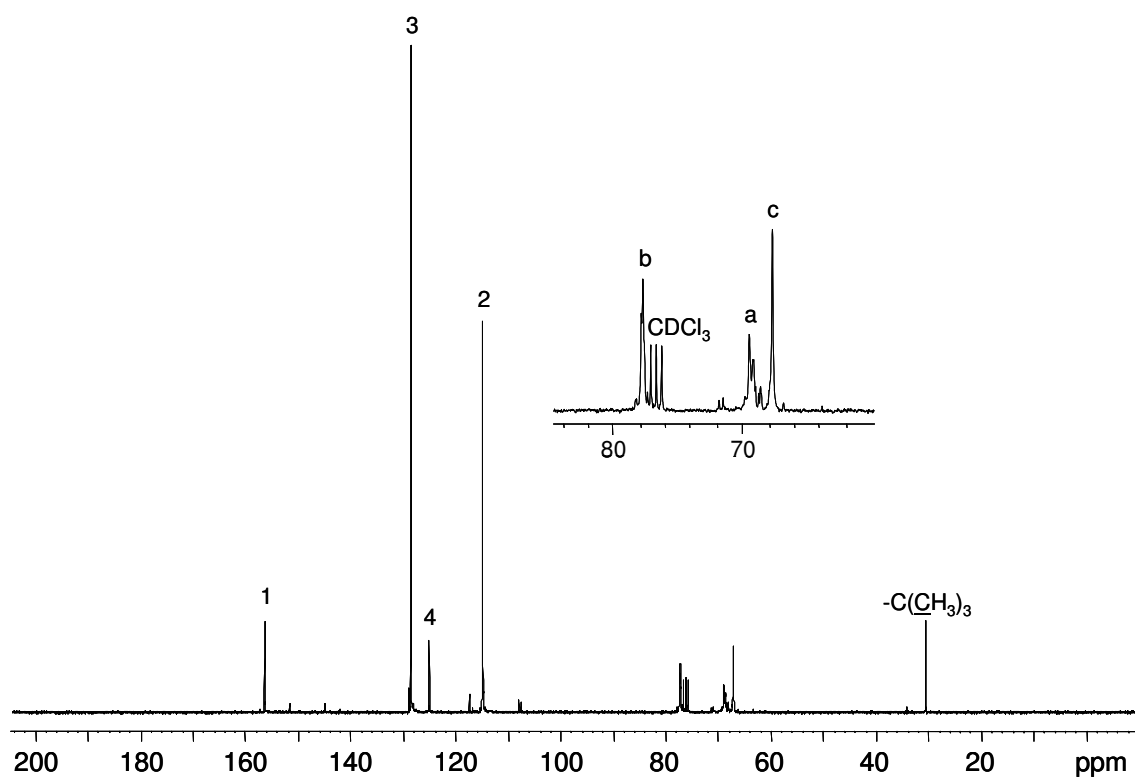
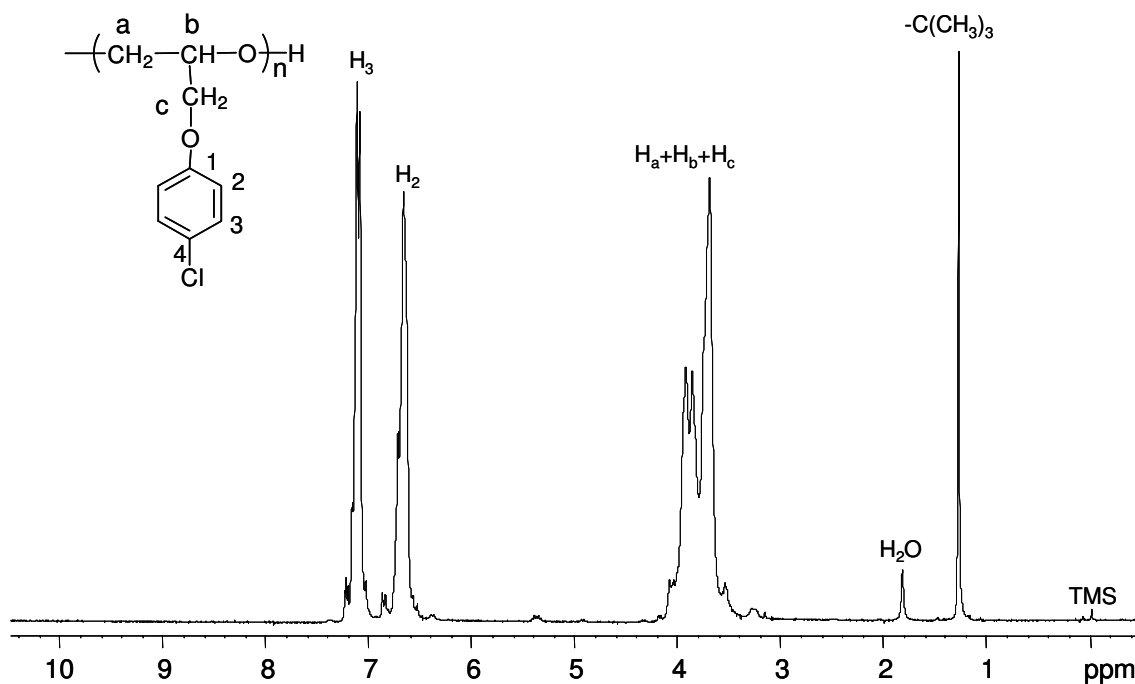


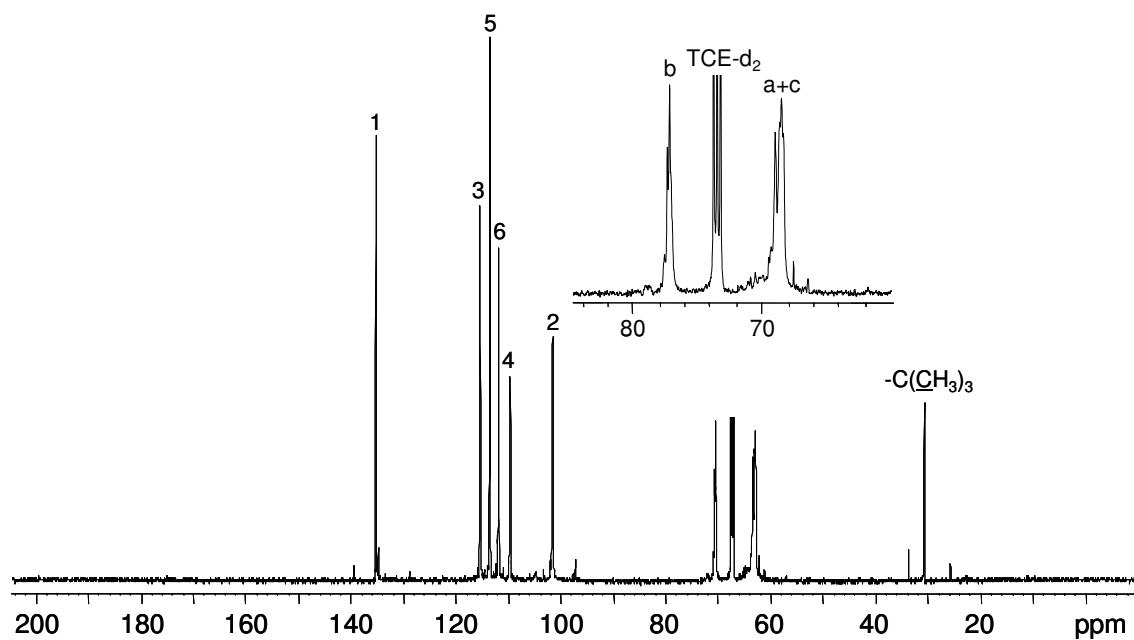
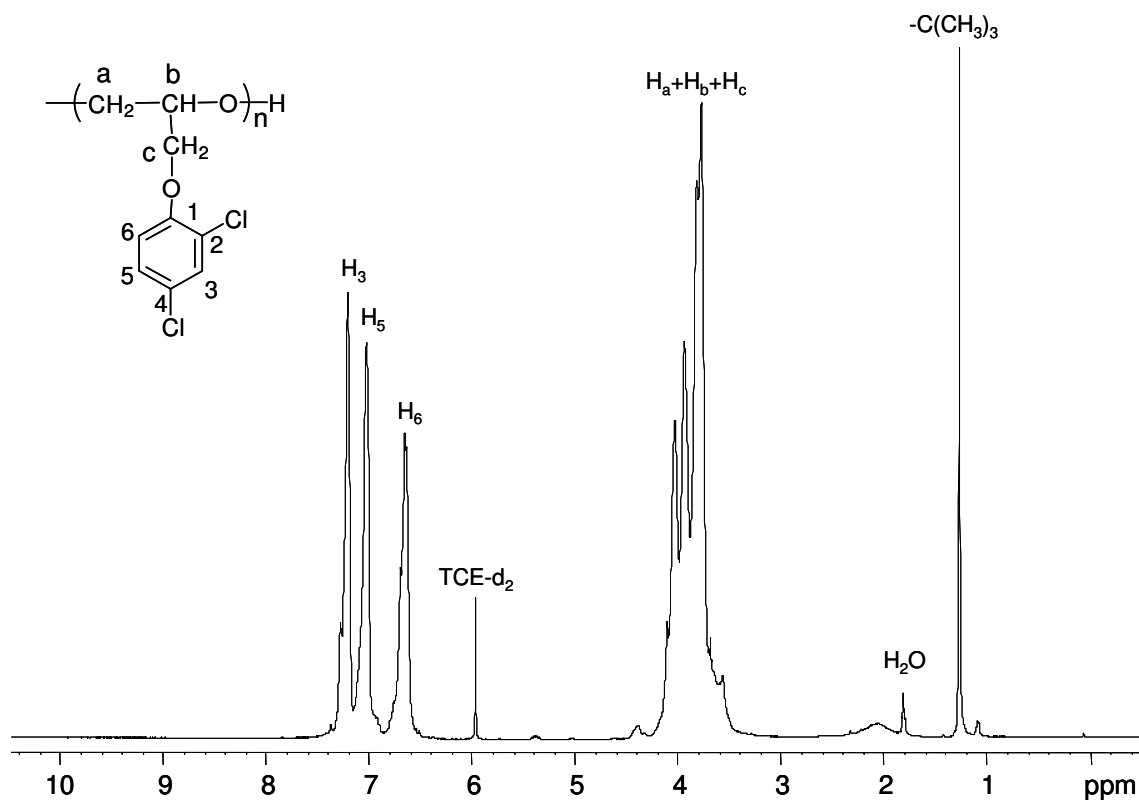
Espectros 2.1: Espectros de RMN de ^1H y ^{13}C del poli(fenilglicidiléter) obtenido con el sistema iniciador 3,5-di-*tert*-butilfenol/*t*-Bu- P_4 , registrado en CDCl_3 .



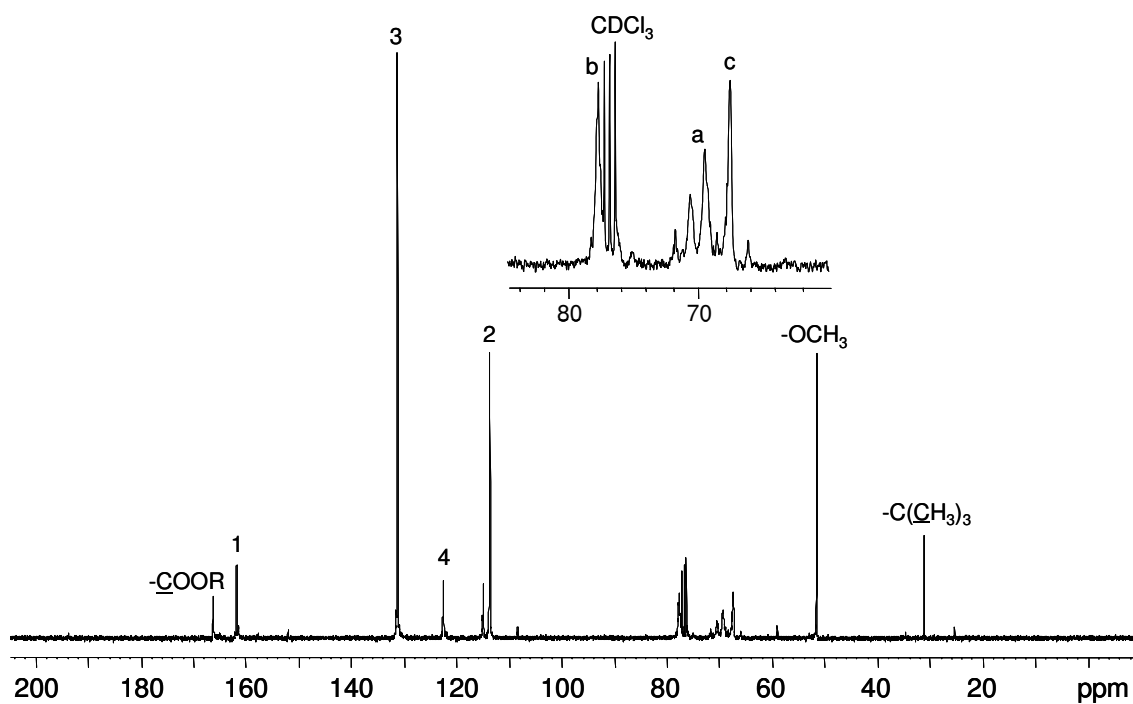
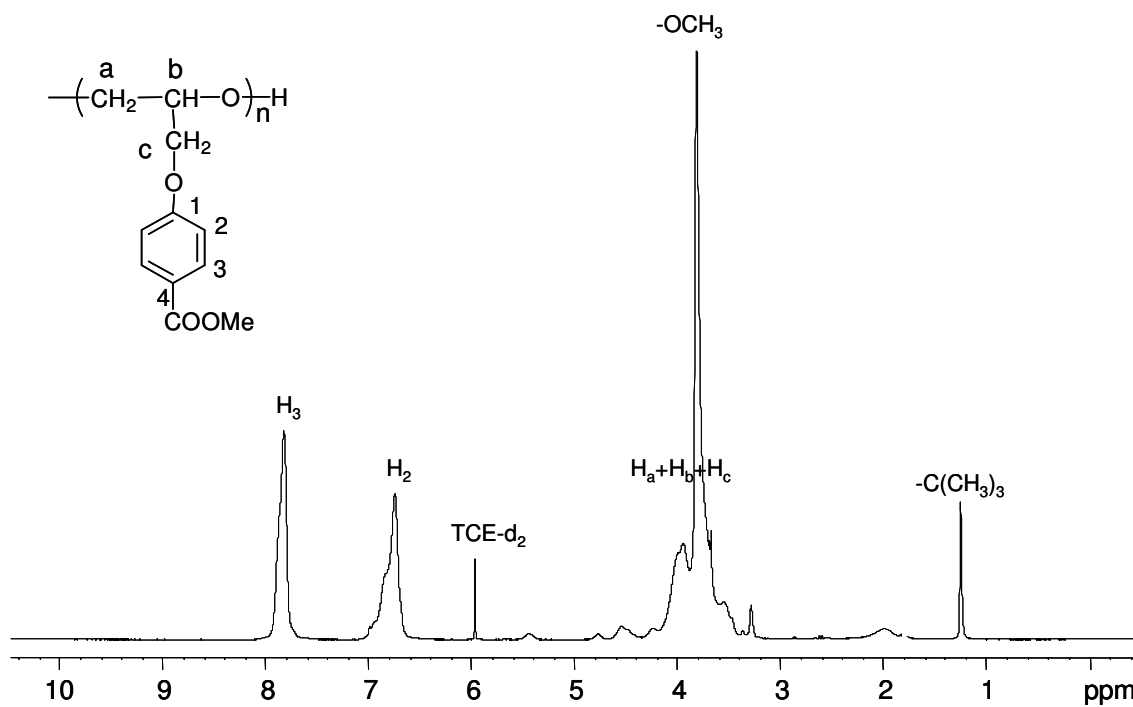
Espectros 2.2: Espectros de RMN de ¹H y ¹³C del poli(4-metoxifenilglicidiléter) obtenido con el sistema iniciador 3,5-di-*terc*-butilfenol/*t*-Bu-P₄, registrado en CDCl₃.



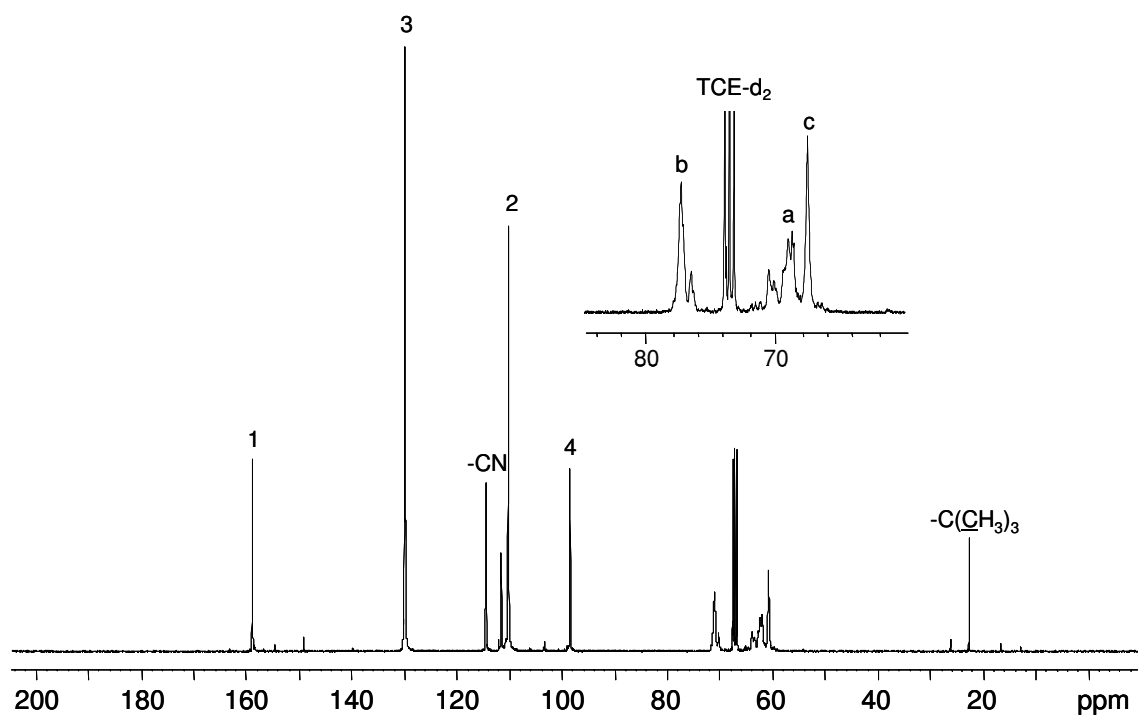
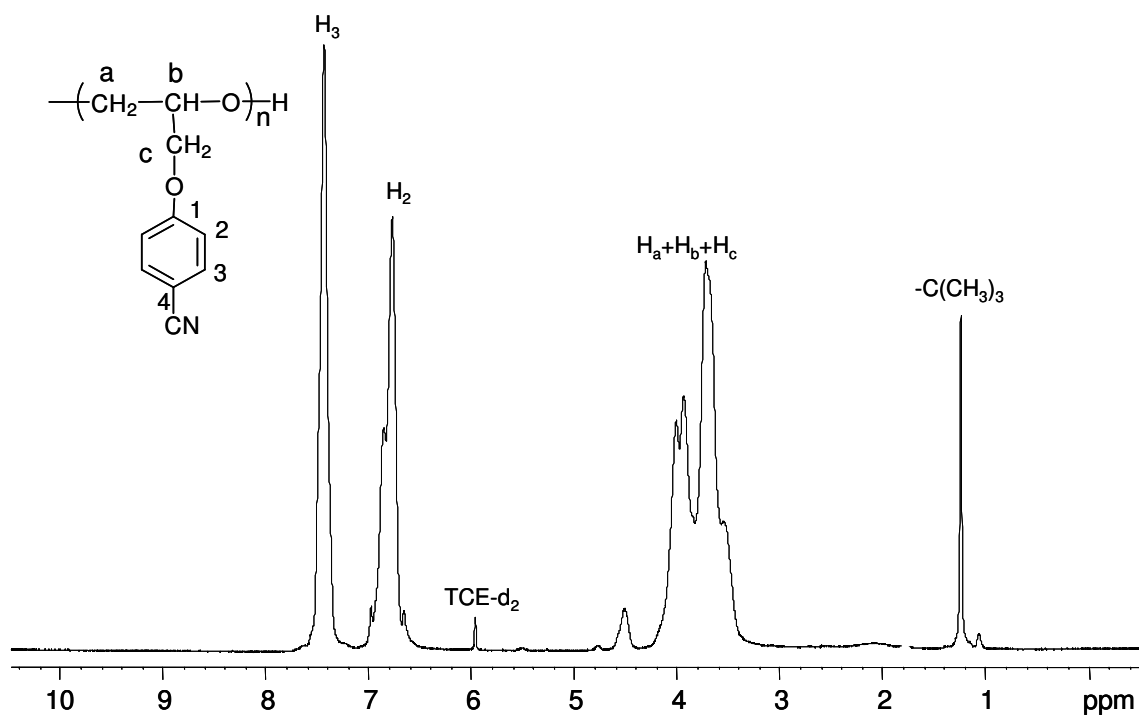
Espectros 2.3: Espectros de RMN de ^1H y ^{13}C del poli(4-clorofenilglicidiléter) obtenido con el sistema iniciador 3,5-di-*terc*-butilfenol/*t*-Bu- P_4 , registrado en CDCl_3 .



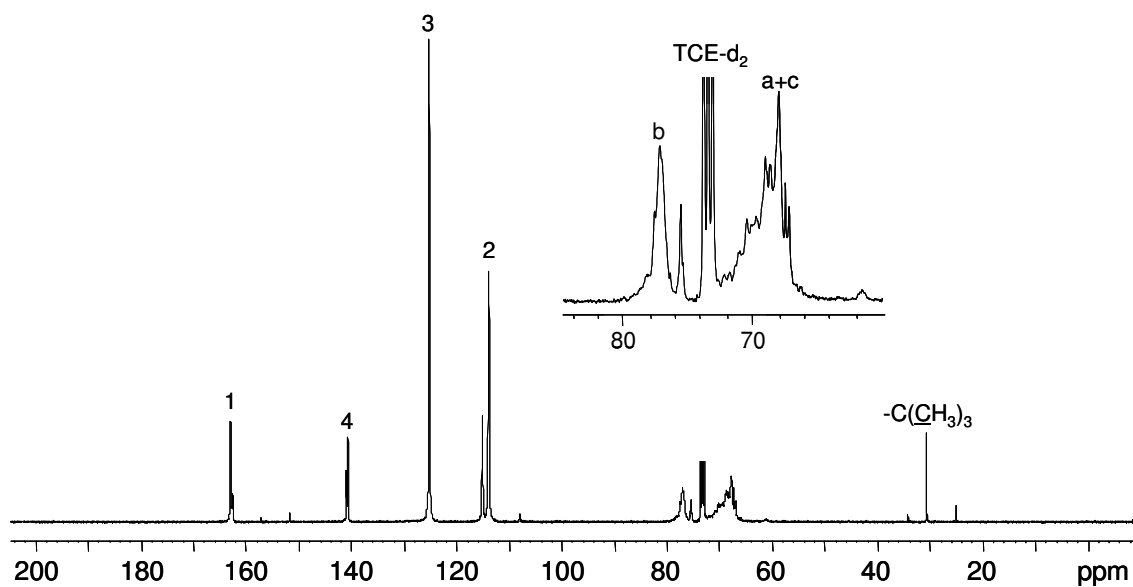
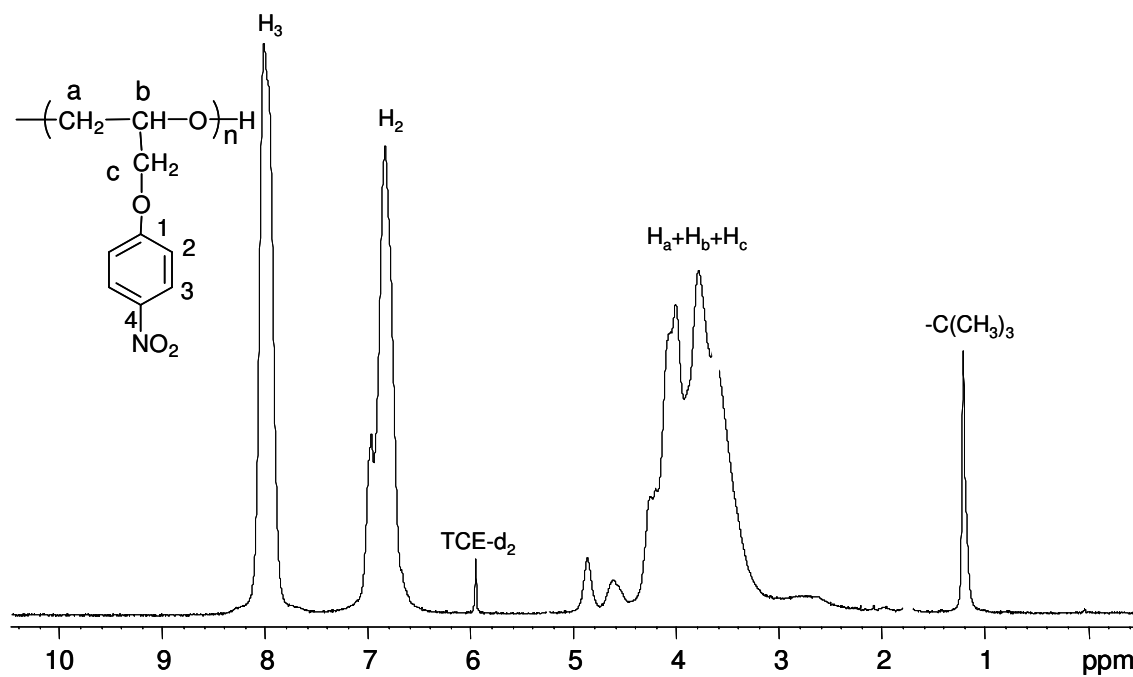
Espectros 2.4: Espectros de RMN de ^1H y ^{13}C del poli(2,4-diclorofenilglicidiléter) obtenido con el sistema iniciador 3,5-di-*terc*-butilfenol/*t*-Bu-P₄, registrado en TCE-d₂.



Espectros 2.5: Espectros de RMN de ^1H y ^{13}C del poli(4-carboximetil-fenilglicidiléter) obtenido con el sistema iniciador 3,5-di-*terc*-butilfenol/*t*-Bu- P_4 , registrado en CDCl_3 .



Espectros 2.6: Espectros de RMN de ^1H y ^{13}C del poli(4-cianofenilglicidiléter) obtenido con el sistema iniciador 3,5-di-*terc*-butilfenol/*t*-Bu- P_4 , registrado en TCE- d_2 .



Espectros 2.7: Espectros de RMN de ^1H y ^{13}C del poli(4-nitrofenilglicidiléter) obtenido con el sistema iniciador 3,5-di-*terc*-butilfenol/*t*-Bu- P_4 , registrado en TCE- d_2 .